

Прогнозирование долговечности титановых и алюминиевых сплавов при фреттинг-усталости по различным критериям роста трещины. Сообщение 2. Применение методики для образцов круглого сечения с полуэллиптической трещиной и учет остаточных напряжений

А. О. Хоцяновский

Институт проблем прочности им. Г. С. Писаренко НАН Украины, Киев, Украина

С целью воспроизведения реальных условий фреттинг-усталости в цилиндрических элементах конструкций проведены экспериментальные исследования фреттинг-усталости цилиндрических образцов с вогнутыми цилиндрическими накладками типа "мостик". С использованием известных решений для коэффициентов интенсивности напряжений в полуэллиптических трещинах, растущих в цилиндрических образцах, выполнено прогнозирование кинетики роста фреттинг-усталостных трещин согласно двухпараметрической модели, описанной в сообщении 1. Получена хорошая сходимость расчетных значений долговечности с экспериментальными для сплава АМгБН при варьировании экспериментальными условиями фреттинга (контактной нагрузкой, амплитудой скольжения и коэффициентом трения). Для сплава ВТ9 апробирована методика учета распределения остаточных напряжений в приповерхностных слоях материала при расчете напряженно-деформированного состояния и долговечности в условиях фреттинг-усталости.

Ключевые слова: фреттинг-усталость, стадии развития трещин, эффективный коэффициент интенсивности напряжений, диаграмма усталостного разрушения, расчет долговечности.

Исследования фреттинг-усталости на образцах круглого сечения. Распространим предложенный ранее подход [1] на случай фреттинг-усталости в конструкционных элементах круглого сечения. Для этого рассмотрим аналогию Гианнакопулоса и др. [2] между напряженно-деформированным состоянием (НДС) в вершине трещины, растущей у края контакта плоского штампа с полуплоскостью (рис. 1,*a*), и трещины, растущей в полуплоскости из вершины V-образного надреза (рис. 1,*б*). С учетом результатов [1] эту аналогию можно использовать не только с расчетной, но и экспериментальной точки зрения: если при реализации контактной схемы (рис. 1,*a*) в конкретных материалах (например, в алюминиевых сплавах АМгБН и Al7075-T6) имеет место рост трещин по механизму сдвига (по типу K_{II}), то это можно реализовать и в аналогичной схеме нагружения (рис. 1,*б*). Последняя напоминает оптимизированную схему Оцуки [3] для определения характеристик трещиностойкости по типу K_{II} , где прикладываются сжимающие объемные нагрузки, параллельные линии исходной трещины. Проравливая исходную трещину в одном надрезе путем изгиба, можно создать условия, аналогичные конкретным условиям фреттинга.

Поскольку при малых длинах трещин и высоких градиентах напряжений предложенная для полуплоскости модель [2] переносится на плоские образцы большой ширины и малой толщины, можно предположить, что осесимметричная задача о цилиндрическом теле с круговой V-образной выточкой

может по аналогии иметь те же асимптотические решения, что и контактная задача о равностороннем поджатии цилиндрического тела диаметром D цилиндрической накладкой того же диаметра. Для этого проведем условную ось симметрии X (рис. 1) и представим тела вращения, образованные аналогичными сечениями (рис. 1, a и рис. 1, δ).

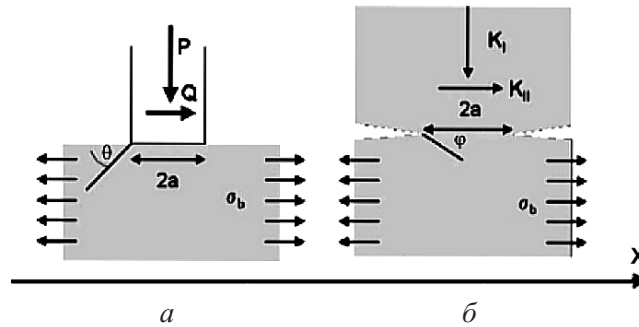


Рис. 1. Эквивалентность задач контакта жесткого штампа с полуплоскостью (a) и нагружения образца с двумя краевыми надрезами (δ) согласно аналогии [2].

Если распространить аналогию [2] на полученные тела вращения, то НДС и условия распространения кольцевой наклонной трещины в растигиваемом упругом цилиндрическом образце с насаженным на его цилиндрическую поверхность жестким кольцом прямоугольного сечения сопоставимы с теми, что имеют место в круглом диске с двухсторонними кольцевыми выточками, в котором условно внутренняя и наружная части, разделяемые выточками, жестко закрепляются в захватах испытательной машины и подвергаются циклическому нагружению. К сожалению, при реализации обеих анализируемых схем нагружения очень проблематично получить кольцевые трещины – обязательно появятся полуэллиптические трещины, и осесимметричная задача превратится в трехмерную.

Методика и результаты испытаний образцов круглого сечения с накладками в условиях фреттинг-усталости. Для испытания образцов круглого сечения диаметром 5 мм из сплава АМгБН (рис. 2, a) были выбраны различные условия фреттинга и накладки из сплава АМгБН и из стали 30ХГСА с внутренним диаметром 5 мм и длиной (базой) $L^* = 5, 8$ и 12 мм (рис. 2, δ). Накладки прижимались к рабочей поверхности образца с помощью приспособления (рис. 3) постоянными усилиями 50 и 100 МПа согласно данным табл. 1.

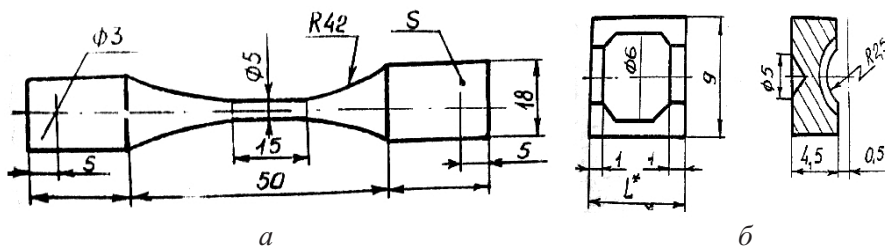


Рис. 2. Схема образцов круглого сечения из сплава АМгБН (a) и накладок для испытаний на фреттинг-усталость из сплава АМгБН или стали 30ХГСА (δ).

Таблица 1

Условия фреттинга, реализуемые при испытаниях цилиндрических образцов с накладками

Материал образца	Материал контртела	Параметры накладки			Номинальное давление P , МПа
		Тип	База, мм	Площадь, мм^2	
АМг6Н	АМг6Н	1	12,0	13,70	50
»	»	1	12,0	13,70	100
»	»	1	8,0	13,70	100
»	»	1	5,0	13,70	100
»	30ХГСА	1	12,0	13,70	50
»	»	1	12,0	13,70	100
ВТ9	ВТ10	2	7,5	9,25	80

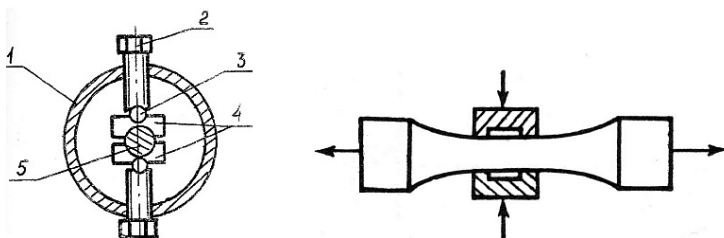


Рис. 3. Крепление накладок к цилиндрическому образцу: 1 – калиброванное кольцо с тензодатчиками; 2 – винт; 3 – стальной шарик; 4 – половинки накладок (контртела); 5 – образец.

Образцы с накладками подвергались циклическому растяжению–сжатию с частотой 36 Гц на испытательной установке МУН-2. По результатам испытаний получено шесть кривых фреттинг-усталости для разных комбинаций материалов, баз и усилий прижатия накладок (табл. 1 и рис. 4).

Анализ фрактографий разрушенных образцов (рис. 5) позволяет установить следующие закономерности разрушения, которые необходимо учитывать в расчетах:

усталостные трещины инициируются на одном из внешних краев накладок (чаще всего со стороны активного захвата);

на большей части контакта края накладки с образцом формируется полукольцевая трещина малой глубины, развивающаяся под переменным углом к поверхности образца;

существует участок перехода от полукольцевой (серповидной) трещины к полуэллиптической, фронт которой плавно переходит в нормальное сечение образца.

Для прогнозирования долговечности при фреттинг-усталости в качестве входных данных используются диаграммы трещиностойкости сплава АМг6Н по типу K_I и K_{II} [1], а также результаты специальных трибометрических испытаний, позволяющие оценить коэффициенты трения в конкретных условиях фреттинга.

Трибометрические испытания. Разработанная ранее [4–6] схема трибометрических испытаний образцов круглого сечения с накладками позволяет воспроизвести условия фреттинга без циклического нагружения. При задан-

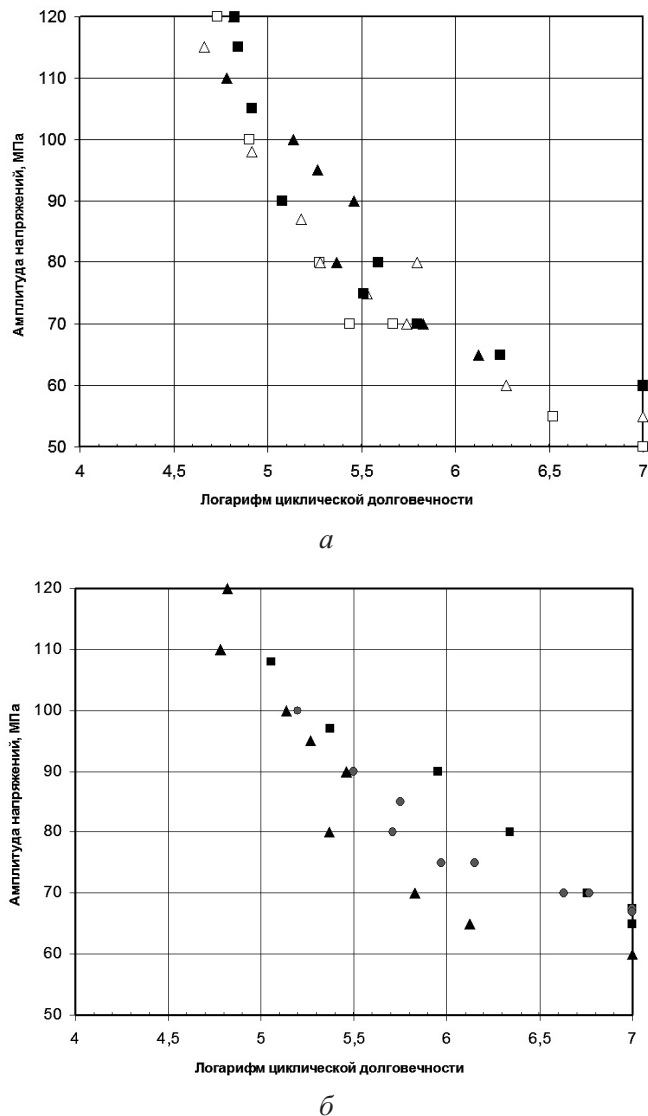


Рис. 4. Результаты испытаний на фреттинг-усталость образцов из сплава AMg6H: *а* – накладки базой 12 мм из сплава AMg6H (■, □) или стали 30ХГСА (▲, △) при усилии прижатия $P = 50$ (■, ▲) и 100 МПа (□, △); *б* – накладки из сплава AMg6H базой 5 (■), 8 (●) и 12 мм (▲) при усилии прижатия $P = 100$ МПа.

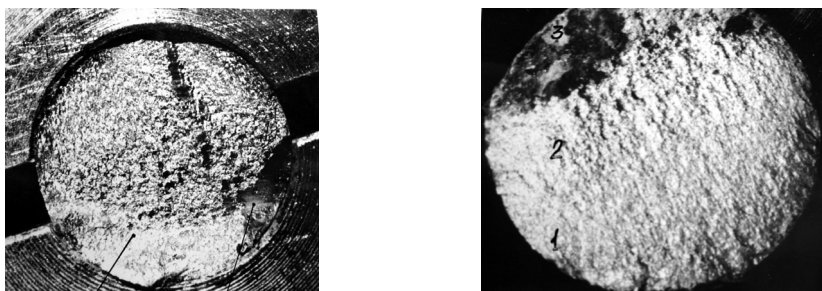


Рис. 5. Типичные фрактографии образцов из сплава AMg6H, испытанных на растяжение–сжатие при фреттинг-усталости.

ном усилии прижатия P контртел к двум половинкам образца (рис. 6) обеспечивается циклическое перемещение ненагруженного образца относительно контртел при различных значениях амплитуды скольжения краев контактирующих поверхностей $A_{\text{ск}}$, измеряемых с помощью электронно-оптической системы и стробоскопического освещения. При этом определяется значение динамического коэффициента трения $\mu = Q/P$ путем измерения тензодатчиками циклического тангенциального усилия Q , передаваемого через пояски трения накладок от одной части образца к другой. Амплитуда скольжения $A_{\text{ск}}$ связана с базой накладок (расстоянием между поясками трения) L^* следующим соотношением:

$$A_{\text{ск}} = L^* \sigma_a / E,$$

где σ_a – амплитуда объемного циклического напряжения; E – модуль упругости материала образца ($E = 71$ ГПа для АМг6Н).

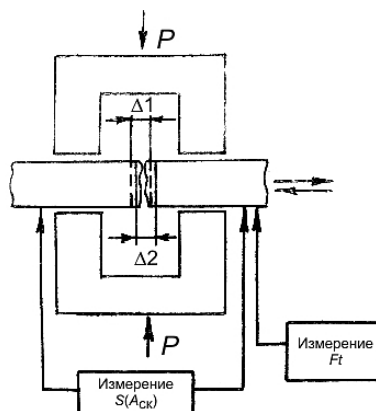


Рис. 6. Схема экспериментального определения триботехнических характеристик материала.

Результаты трибометрических испытаний при двух уровнях нормального давления $P = 50$ и 100 МПа приведены для пар трения АМг6Н–АМг6Н и АМг6Н–30ХГСА (рис. 7). Отметим, что в последнем случае коэффициенты трения выше, чем в первом. При этом для обеих пар трения коэффициенты трения выше при $P = 50$ МПа, чем при $P = 100$ МПа. В области объемных циклических нагрузок, реализованных при испытаниях на фреттинг-усталость (40 МПа $< \sigma_a < 130$ МПа), амплитуды скольжения $A_{\text{ск}}$ (в соответствии с вышеприведенной формулой) варьируются в диапазоне $7...12$ мкм для накладок базой 5 мм и в диапазоне $10...20$ мкм для накладок базой 12 мм.

Расчет долговечности при фреттинг-усталости. Известны трехмерные конечноэлементные решения для цилиндрических образцов с полуэллиптическими трещинами (например, [7, 8]), которые хорошо согласуются с аналитическими расчетами [9], ранее использованными для образцов круглого сечения из сталей [4]. В табл. 2 представлены соответствующие K -тарировки ($Y = A_1x + A_2x^2 + A_3x^3 + A_4x^4 + A_5x^5$, где $x = c/d$ – относительная глубина трещины [9] для образцов круглого сечения с полуэллиптической трещиной).

Таблица 2

Значения коэффициентов *K*-тариировки

a/c	A_1	A_2	A_3	A_4	A_5
0,2	0,861	1,353	-21,86	342,60	-213,12
0,4	0,703	-0,250	10,20	-7,20	193,03
0,6	0,658	-0,324	5,64	-11,79	97,63
0,8	0,613	-0,554	9,02	-40,47	68,30
1,0	0,505	-0,503	3,01	-19,33	38,33
1,2	0,500	-0,251	4,70	-25,83	43,52

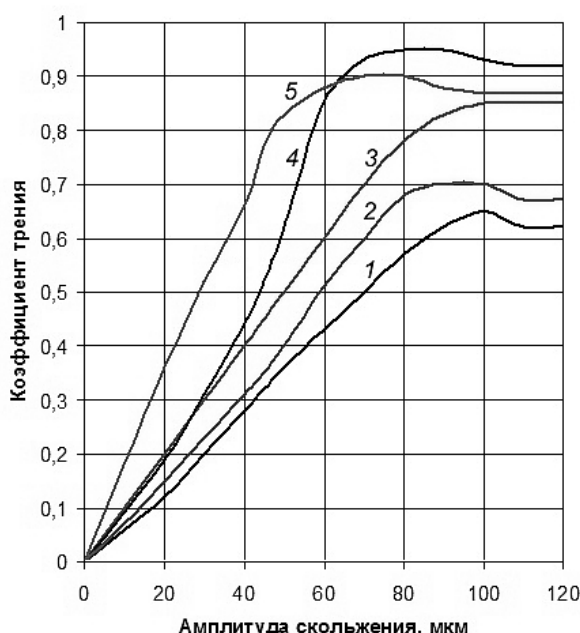


Рис. 7. Зависимость коэффициента трения от амплитуды скольжения в парах трения АМг6Н–АМг6Н базой 12 мм (1 – $P = 100$ МПа, 3 – $P = 50$ МПа); АМг6Н–30ХГСА базой 12 мм (2 – $P = 100$ МПа, 4 – $P = 50$ МПа) и ВТ9–ВТ10 базой 7,5 мм (5 – $P = 80$ МПа).

С использованием результатов фрактографических исследований разрушенных в процессе испытаний на фреттинг-усталость цилиндрических образцов из сплава АМг6Н и исследований кинетики изменения формы полуэллиптических трещин по мере их роста в различных материалах [4, 6, 10] выполнен анализ экспериментальных соотношений глубины полуэллиптических трещин a к их длине c в зависимости от относительной глубины трещины c/d . Согласно результатам [4, 5], приведенным на рис. 8, наблюдается увеличение значения a/c по мере роста полуэллиптической трещины до величины порядка 0,75...0,80, что соответствует энергетической выгодности выравнивания коэффициента интенсивности напряжений (КИН) по фронту трещины [9]. Путем статистической обработки указанных экспериментальных результатов была построена осредненная кривая изменения формы трещины (рис. 8), для которой с помощью данных табл. 2 определены параметры аналитической *K*-тариировки, используемые в дальнейшем для расчета КИН.

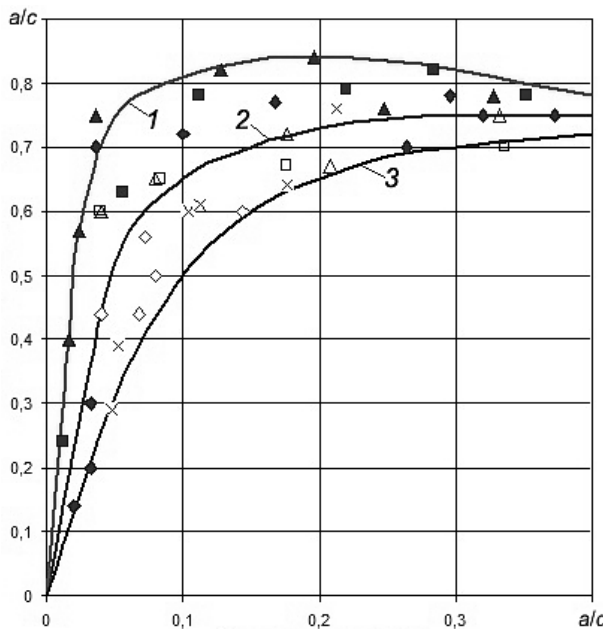


Рис. 8. Изменение формы полуэллиптических трещин в исследованных материалах: 1 – осредненная кривая; 2, 3 – предельные случаи; ▲ – сплав АМг6Н; □ – сплав ВТ9; × – сталь 22Г2ТЮ [4]; △ – сталь 08ГСЮТ [4]; ◊ – сталь 15КП [4]; ◆ – сталь НТ60 [9]; ■ – сталь S10C [7].

Соответствующий расчет фреттинг-усталости выполнен с помощью методики, основанной на двухпараметрической модели Оцуки [3], применимость которой к данному материалу показана ранее [1]. Последовательность реализации изложенной методики подробно описана в [4–6]. С использованием значений σ_a , P и базы L^* определяется динамический коэффициент трения и рассчитываются параметры K_I и K_{II} , а по ним – K_σ и K_τ для различных значений глубины трещины. Нижняя граница применимости соответствующих формул механики разрушения определяется длиной начальной трещины $l_0 = 20$ мкм (размер зерна материала).

При заданной длине трещины $l > l_0$ текущие значения параметров K_σ и K_τ сопоставляются соответственно с пороговыми значениями K_{Ith} и K_{IIth} . Тем самым устанавливается параметр механики разрушения (K_σ и K_τ), который контролирует рост трещины длиной l . Ее направление прогнозируют по соответствующим формулам критерия Оцуки [3]. Путем интегрирования соответствующей диаграммы усталостного разрушения ($\Delta K_\tau - dl/dn$ или $\Delta K_\sigma - dl/dn$) определяется приращение Δl длины трещины в течение числа циклов нагружения Δn . Затем расчет повторяется для нового положения вершины трещины вплоть до момента остановки трещины или достижения ею критической длины l_c . Циклическая долговечность определяется суммированием $\sum \Delta n = N$ в диапазоне изменения l от l_0 до l_c . Предел выносливости находится по критерию нераспространения трещины.

Расчетные и экспериментальные значения, полученные для различных условий фреттинг-усталости, приведены на рис. 9, 10 и в табл. 3–8. Отметим хорошую сходимость расчетных пределов выносливости с эксперименталь-

ными и систематическое занижение расчетных долговечностей, особенно для накладок базой 5 и 8 мм, когда реализуются самые низкие амплитуды скольжения (7...10 мкм) и постулируется низкое значение динамического коэффициента трения ($\mu < 0,1$). Кроме того, в расчете не учитывалась различная природа материалов накладок АМгБН и 30ХГСА, а лишь несколько более высокий коэффициент трения в последнем случае (согласно трибометрическим зависимостям на рис. 7). Однако при этом имеют место факторы (трибометрические, точность расчета КИН и K -тариировки, точность прогнозирования траектории трещины и т.д.), влияющие на результаты расчетов, которые нуждаются в уточнении в каждом конкретном случае.

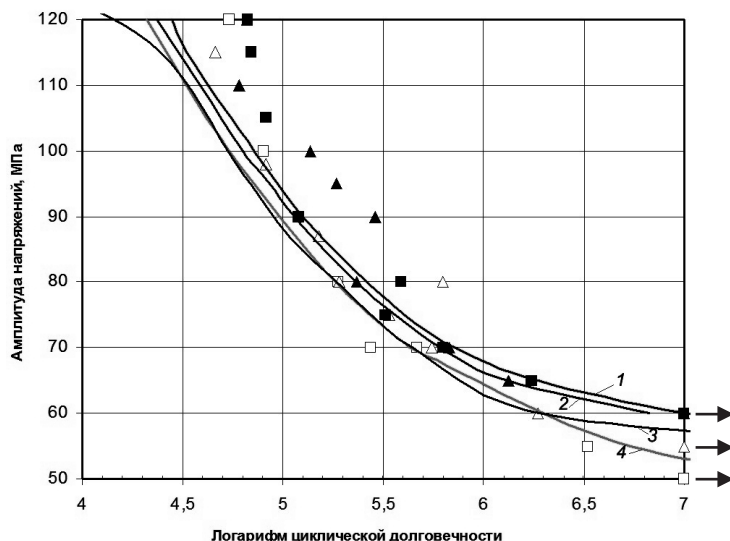


Рис. 9. Расчетные (линии) и экспериментальные (точки) значения долговечности образцов круглого сечения из сплава АМгБН с накладками базой 12 мм из стали 30ХГСА (1, ■ – $P = 100$ МПа; 4, □ – $P = 50$ МПа) и сплава АМгБН (2, ▲ – $P = 100$ МПа; 3, △ – $P = 50$ МПа).

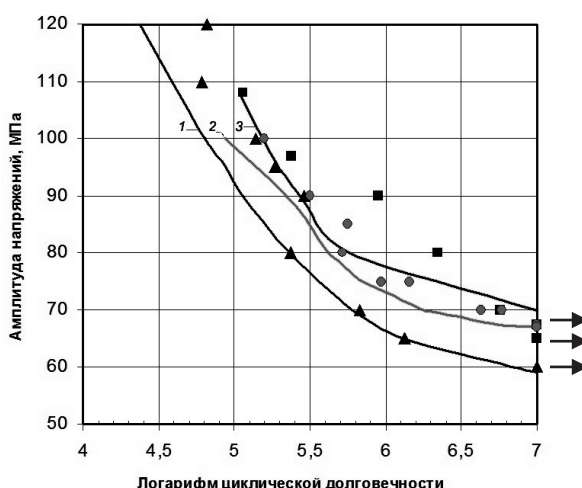


Рис. 10. Расчетные (линии) и экспериментальные (точки) значения долговечности и предела выносливости образцов круглого сечения из сплава АМгБН с накладками из сплава АМгБН базой 12 (1, ▲), 8 (2, ●) и 5 мм (3, ■).

Таблица 3

Экспериментальные и расчетные значения долговечности и предела выносливости образцов круглого сечения из сплава АМгБН с накладками базой 12 мм из АМгБН ($P = 100$ МПа)

№ образца	σ_a , МПа	N_s , цикл	N_p , цикл	δ , %
1	120	66000	23500	-64
2	110	61000	38800	-36
3	100	138000	63700	-53
4	95	186000	86600	-53
5	90	288000	114200	-60
6	80	234000	232400	-1
7	70	676000	604300	-11
8	65	1328000	1323000	-1
9	60	база	6781000	-
Предел выносливости, МПа		60,0	57,5	-4

Примечание. Здесь и в табл. 4–9: δ – относительная погрешность, %.

Таблица 4

Экспериментальные и расчетные значения долговечности и предела выносливости образцов круглого сечения из сплава АМгБН с накладками базой 12 мм из АМгБН ($P = 50$ МПа)

№ образца	σ_a , МПа	N_s , цикл	N_p , цикл	δ , %
1	125	43000	7000	-60
2	115	46000	2470	-46
3	98	83000	59100	-29
4	87	152000	107800	-29
5	80	191000	184200	-4
6	80	630000	184200	-71
7	75	340000	275700	-19
8	70	552000	440300	-20
9	60	1870000	1890000	1
10	55	база	база	0
11	50	база	база	0
Предел выносливости, МПа		55	55	0

В связи с этим рассмотрим результаты расчета для образца № 8 (табл. 3) из сплава АМгБН с накладками базой 12 мм из того же материала ($P = 100$ МПа, $\sigma_a = 65$ МПа), для которого была получена наилучшая сходимость расчетных долговечностей с экспериментальными (соответственно 1323000 и 1328000 цикл). Согласно расчетной диаграмме многостадийного разрушения материала (рис. 11), первая стадия роста усталостной трещины (РУТ), описываемая параметром K_τ , занимает примерно 30% долговечности, в то время как стадия РУТ, описываемая параметром K_σ – 70%, причем рост трещины в плоскости, нормальной к поверхности образца, занимает 35% общей долговечности. При этом подрастание трещины от исходного размера 20 мкм до 50 мкм происходит по механизму K_τ в течение первых 30000 цикл нагружения, что

Т а б л и ц а 5

Экспериментальные и расчетные значения долговечности и предела выносливости образцов круглого сечения из сплава АМг6Н с накладками базой 12 мм из стали 30ХГСА ($P = 50$ МПа)

№ образца	σ_a , МПа	N_3 , цикл	N_p , цикл	δ , %
1	120	54000	21000	-61
2	100	80000	54000	-32
3	80	190000	184000	-3
4	70	275000	429000	56
5	70	467000	429000	-8
6	55	331000	5405000	63
7	50	база	база	0
8	50	база	база	0
9	45	база	база	0
Предел выносливости, МПа		50	50	0

Т а б л и ц а 6

Экспериментальные и расчетные значения долговечности и предела выносливости образцов круглого сечения из сплава АМг6Н с накладками базой 12 мм из стали 30ХГСА ($P = 100$ МПа)

№ образца	σ_a , МПа	N_3 , цикл	N_p , цикл	δ , %
1	120	67000	28000	-58
2	115	70000	33000	-53
3	105	83000	55000	-34
4	90	120000	126000	5
5	80	389000	263000	32
6	75	324000	406000	26
7	70	630000	713000	13
8	65	1740000	1861000	7
9	60	база	база	0
10	55	база	база	0
Предел выносливости, МПа		60,0	62,5	4

соответствует 3% общей долговечности. Таким образом, варьирование исходным размером дефекта в указанном диапазоне не приводит к значительному изменению расчетной величины долговечности. Согласно расчетным результатам, переход от стадии РУТ по механизму K_τ к стадии, контролируемой параметром K_σ , происходит при глубине полуэллиптической трещины, равной $l_1 = 0,123$ мм; переход фронта трещины в плоскость, нормальную к поверхности образца, реализуется при глубине трещины $l_2 = 0,260$ мм, а критическая вязкость разрушения достигается при глубине трещины $l_3 = 2,85$ мм. Расчетные углы отклонения фронта трещины от нормали составляют 42 и 23° при глубине трещины 0,05 и 0,15 мм соответственно.

Фрактографический анализ поверхности разрушения образца показывает, что для нее характерны признаки стадийного развития трещины. Трещина инициируется в одной из точек края контакта накладок с боковой поверхностью

Таблица 7

Экспериментальные и расчетные значения долговечности и предела выносливости образцов круглого сечения из сплава АМг6Н с накладками базой 8 мм из сплава АМг6Н ($P = 100$ МПа)

№ образца	σ_a , МПа	N_s , цикл	N_p , цикл	δ , %
1	100,0	158000	86000	-46
2	90,0	316000	220000	-30
3	85,0	562000	313000	-44
4	80,0	514000	418000	-19
5	75,0	936000	670000	-28
6	75,0	1426000	670000	-53
7	70,0	4266000	1327000	-69
8	70,0	5890000	1327000	-77
9	67,5	база	5700000	-
10	65,0	база	база	0
Предел выносливости, МПа		67,5	65,0	4

Таблица 8

Экспериментальные и расчетные значения долговечности и предела выносливости образцов круглого сечения из сплава АМг6Н с накладками базой 5 мм из сплава АМг6Н ($P = 100$ МПа)

№ образца	σ_a , МПа	N_s , цикл	N_p , цикл	δ , %
1	108,0	114000	107000	-6
2	97,0	237000	166000	-30
3	90,0	898000	272000	-70
4	80,0	2198000	568000	-74
5	70,0	5728000	база	-
6	67,5	база	база	0
7	65,0	база	база	0
Предел выносливости, МПа		67,5	70,0	4

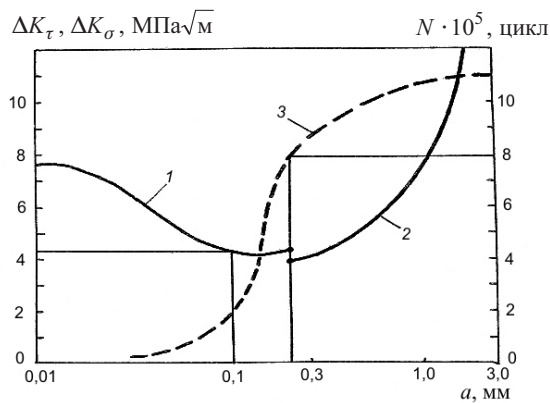


Рис. 11. Расчетная кинетическая диаграмма разрушения цилиндрического образца из сплава АМг6Н с накладками базой 12 мм из сплава АМг6Н при значениях $\sigma_a = 65$ МПа и $P = 100$ МПа (долговечность $N_s = 1328000$ цикл): 1 – зависимость параметра K_t от длины трещины a ; 2 – зависимость параметра K_σ от длины трещины a ; 3 – увеличение длины трещины a с наработкой N .

образца, причем преобладает одноочаговое зарождение трещины. Изображения, полученные формированием контакта во вторичных электронах при ускоряющем напряжении 30 кВ, позволяют установить зону фреттинг-износа поверхностного слоя материала (1 на рис. 12,*a*), зоны вязкого разрушения (2 на рис. 12,*a,b*), зоны разрушения по механизму отрыва (3 на рис. 12,*b*), зоны долома материала (4 на рис. 12,*c*).

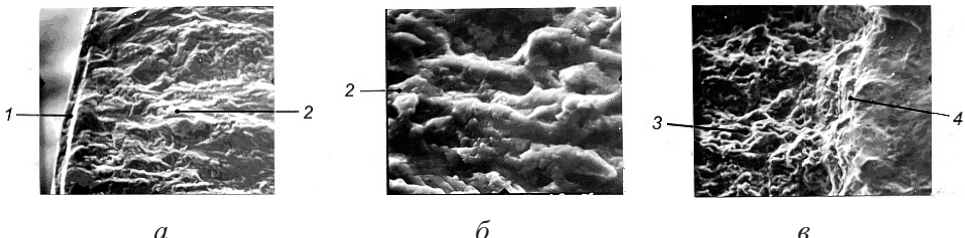


Рис 12. Фрактографии образца из сплава АМг6Н, разрушенного в условиях фреттинг-усталости.

При этом границы зоны соответствуют следующим расстояниям от поверхности образца в направлении РУТ: $l_0 = 0,035$ мм; $l_1 = 0,12\text{--}0,14$ мм; $l_2 = 3,06$ мм, а угол отклонения фронта трещины от нормали к поверхности образца составляет $48\text{...}50^\circ$ на расстоянии 0,05 мм от поверхности образца и $19\text{...}24^\circ$ на расстоянии 0,15 мм. Полученные экспериментальные результаты хорошо согласуются с расчетной диаграммой стадийного разрушения. При этом оказывается, что в диапазоне изменения глубины трещины $l_1 = 0,12\text{--}0,14$ мм, соответствующем изменению механизма РУТ (согласно расчету при $l_1 = 0,123$ мм), фрактографические признаки вязкого разрушения менее выражены, чем в начальной стадии РУТ, при $l > 0,14$ мм наблюдаются признаки разрушения по механизму отрыва.

Фрактографический анализ нескольких образцов того же типа позволяет предположить, что зона фреттинг-износа развивается в течение всей наработки, а продукты износа, попадая в открытую микротрещину, оказывают расклинивающее действие, вследствие чего уменьшается долговечность.

Учет остаточных напряжений при оценке долговечности в условиях фреттинг-усталости. Для учета влияния остаточных напряжений на долговечность материала в условиях фреттинг-усталости с позиций линейной механики разрушения в расчетную схему для материала без остаточных напряжений достаточно внести составляющую КИН от остаточных напряжений (как правило, отрицательную). В работе [10] такой подход был реализован для плоских виброупрочненных образцов из сплава Ti-6Al-4V: суперпозиция поля остаточных напряжений на поля контактных и объемных напряжений применялась для упрощенной эпюры остаточных напряжений, приближенно описывающей результаты виброупрочнения плоских образцов.

Аналогично подходу [10] был выполнен учет упругих остаточных напряжений в рамках изложенной выше расчетной методики для цилиндрических образцов.

Данная расчетная методика использовалась для прогнозирования долговечности виброупрочненных цилиндрических образцов из сплава ВТ9

(рис. 13,*a*) с накладками базой 7,5 мм из сплава ВТ10 (рис. 13,*b*), прижатых усилием, соответствующим номинальному нормальному давлению $P = 80$ МПа (табл. 1).

Виброупрочнение образцов круглого сечения из сплава ВТ9 проводилось по технологии, выбранной из расчета минимизации остаточных напряжений в поверхностном слое, на установке УВД-4А в следующем режиме: рабочая среда – стальные шарики диаметром 4,5 мм, частота колебаний – 5 Гц, амплитуда колебаний – 50 мм, время упрочнения – 25 мин.

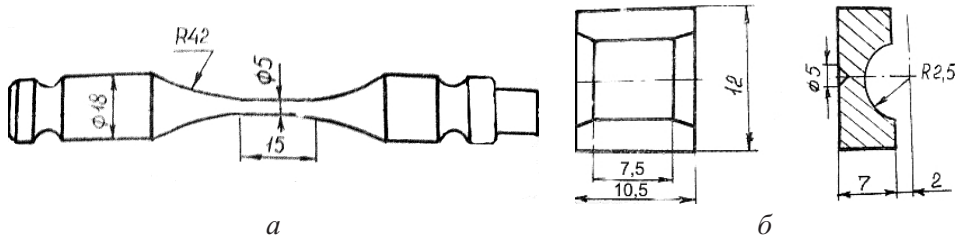


Рис. 13. Схема образцов круглого сечения из сплава ВТ9 (*a*) и накладок из сплава ВТ10 (*b*).

Трибометрические испытания для виброупрочненных образцов с накладками проводились аналогично ранее описанным для сплава АМгБН. Трибометрическая зависимость для пары образец из ВТ9–накладка из ВТ10 представлена на рис. 7 (кривая 5).

Циклические испытания на растяжение–сжатие в условиях фреттинга проводились аналогично вышеописанным для сплава АМгБН, а их результаты представлены в табл. 9.

Таблица 9

Экспериментальные и расчетные значения долговечности и предела выносливости образцов круглого сечения из сплава ВТ9 с накладками базой 7,5 мм из сплава ВТ10 ($P = 80$ МПа)

№ образца	σ_a , МПа	N_a , цикл	N_p , цикл	δ , %
1	190	148000	239300	61
2	180	298000	313800	5
3	175	312000	370900	19
4	175	468000	370900	-21
5	170	525000	455400	-13
6	165	590000	600700	2
7	165	773000	600700	-22
8	160	764000	946900	24
9	155	864000	4162000	380
10	155	897000	4162000	364
11	150	база	база	0
12	145	база	база	0
Предел выносливости, МПа		150,00	152,25	2

Для последующих расчетов был выполнен анализ фрактографий образцов, в результате чего установлена схема распространения полуэллиптической трещины из пятна контакта в образце круглого сечения из сплава ВТ9 в условиях фреттинг-усталости (рис. 14).

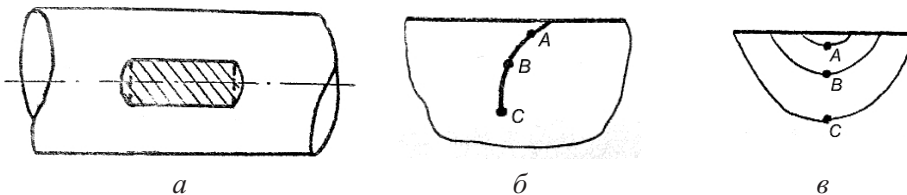


Рис. 14. Схема распространения полуэллиптической трещины в образце круглого сечения из сплава ВТ9 в условиях фреттинг-усталости: *а* – пятно контакта; *б, в* – текущие положения фронта трещины.

При расчете постулировалось параболическое распределение нормальных и касательных поверхностных погонных усилий по длине площадки контакта. Кроме того, предполагалось, что в течение нескольких тысяч циклов на границе зоны фреттинга формируется полуэллиптическая трещина длиной, равной ширине площадки трещины, дальнейший рост которой происходит с изменением формы фронта, описываемым осредненной кривой 1 на рис. 8. Расчет начинается с момента достижения трещиной глубины, равной 2-3 микроструктурным размерам данного сплава (порядка 20 мкм), при этом особенности поверхностного слоя образца, обусловленные предварительным виброупрочнением, учитываются следующим образом. Используется эпюра распределения остаточных напряжений в поверхностном слое образца (рис. 15), полученная с помощью электронно-измерительной системы М-217, с записью на потенциометре КСП-4. Исходя из принципа суперпозиции, рост полуэллиптических усталостных трещин в материале с остаточными напряжениями, распределенными по известному закону, может быть описан с помощью характеристик трещиностойкости исходного материала путем использования эффективных коэффициентов интенсивности напряжений, представляющих собой сумму составляющих от остаточных и циклических напряжений.

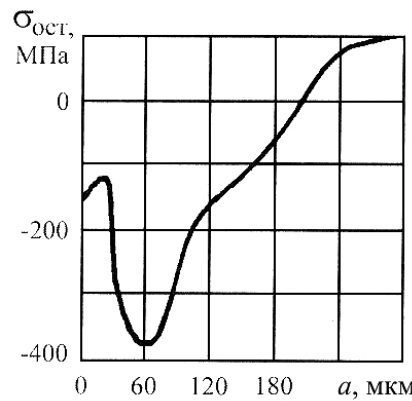


Рис. 15. Распределение остаточных напряжений в приповерхностных слоях образца круглого сечения из сплава ВТ9 после виброупрочнения.

Для расчета коэффициента интенсивности остаточных напряжений K_I^{oct} в вершине полуэллиптической трещины заданной глубины a с заданным отношением глубины a к полудлине c , растущей в поле остаточных напряжений с заданным законом распределения, используется метод весовых функций [11] и его программное обеспечение [6]. В качестве исходных данных в расчетную программу вводятся различные значения глубины и коэффициента формы полуэллиптической трещины и задается в полиномиальном виде распределение остаточных напряжений (рис. 15). Остаточные напряжения сжатия растут по абсолютной величине от 100...120 МПа в поверхностном слое до 380...390 МПа на глубине 60–70 мкм и плавно стремятся к нулю на глубине 150–160 мкм.

В результате получены расчетные значения коэффициентов интенсивности остаточных напряжений K_I^{oct} для различных точек фронта полуэллиптических трещин разных форм и глубин в цилиндрическом образце с заданным законом распределения остаточных напряжений (рис. 16).

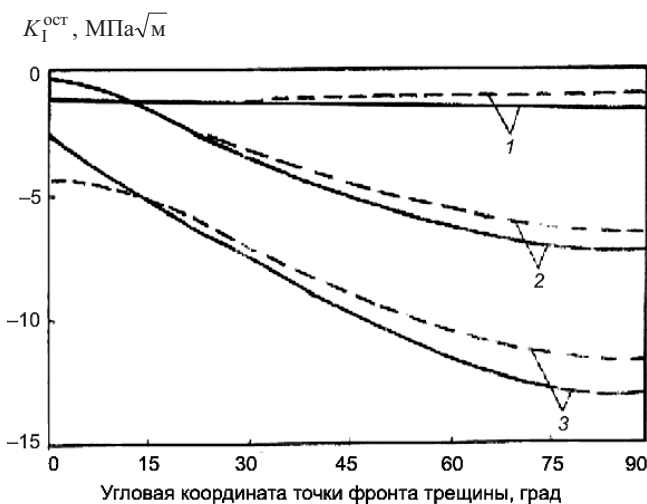


Рис. 16. Расчетные значения коэффициентов интенсивности остаточных напряжений в различных точках фронта трещины: 1 – $a = 50$ мкм; 2 – $a = 100$ мкм; 3 – $a = 200$ мкм; сплошные линии – $a/c = 0,2$; штриховые – $a/c = 0,5$.

Как видно из рис. 16, с увеличением глубины трещины a и (или) отношения a/c растет по абсолютной величине отрицательное значение параметра K_I^{oct} , что наиболее существенно проявляется в точке фронта трещины, максимально удаленной от поверхности образца. С использованием полученных расчетных результатов и осредненной кривой изменения формы фронта полуэллиптической трещины была определена зависимость $K_I^{\text{oct}} - a$ (рис. 17), которая может быть представлена в следующем аналитическом виде:

$$K_I^{\text{oct}} = 5,252 - 144,9a - 0,78a^2 + 0,0138a^3 - 6,19 \cdot 10^{-5}a^4 + 9,2 \cdot 10^{-8}a^5$$

при $a \leq 0,4$ мм.

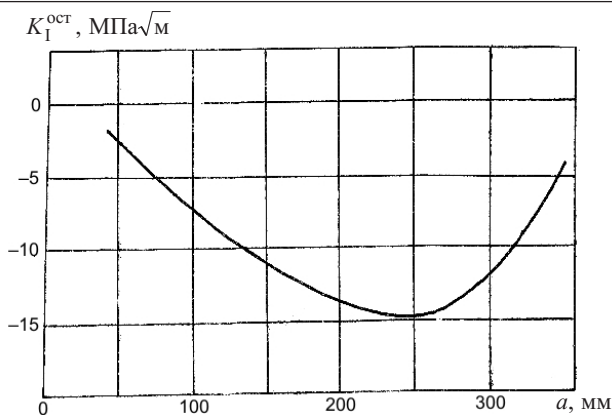


Рис. 17. Изменение коэффициентов интенсивности остаточных напряжений в вершине трещины в зависимости от ее глубины a .

Зависимость $K_I^{\text{oct}} - a$ вместе с триботехническими зависимостями, полученными экспериментально для виброупрочненных образцов (рис. 7), и характеристиками циклической трещиностойкости для стандартных плоских образцов, описанных ранее [1], была введена в программу расчета долговечности виброупрочненных цилиндрических образцов из сплава ВТ9 с накладками базой 7,5 мм из сплава ВТ10, прижатых усилием, соответствующим номинальному нормальному давлению $P = 80$ МПа. Результаты расчета, приведенные в табл. 9 и на рис. 18, и экспериментальные результаты показывают следующее:

а) расчетные и экспериментальные значения предела выносливости хорошо согласуются между собой;

б) при амплитуде циклического напряжения, близкой к пределу выносливости (155 МПа), расчет дает неконсервативную оценку, тогда как при более высоких уровнях напряжения максимальное отклонение расчетных точек от экспериментальных не превышает 24%. Таким образом, установлена удовлетворительная корреляция между расчетными и экспериментальными результатами.

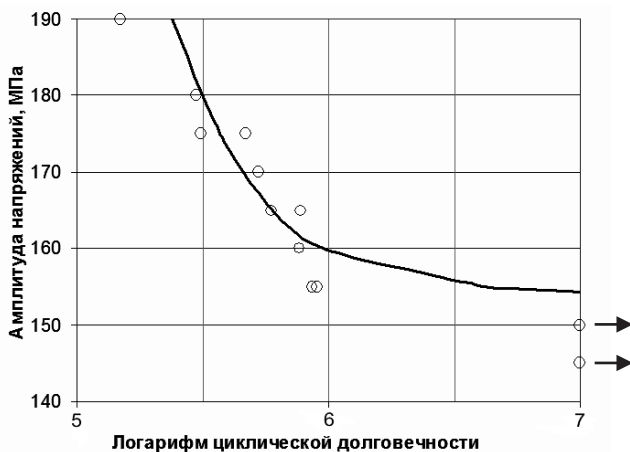


Рис. 18. Расчетная кривая усталости виброупрочненных образцов круглого сечения из сплава ВТ9 с накладками из сплава ВТ10 (линия) и экспериментальные точки.

Для сопоставления расчетных данных по кинетике разрушения сплава BT9 в условиях фреттинг-усталости с экспериментальными выполнен сравнительный анализ размеров и ориентации зон разрушения, соответствующих различным стадиям РУТ в образце с накладками из сплава BT10 при амплитуде циклического напряжения 160 МПа. Исследование фрактографий с помощью электронного микроскопа Stereoscan S4-10 позволяет обнаружить такие закономерности разрушения (рис. 19): одночаговость разрушения и наличие зон разрушения по механизму сдвига и механизму отрыва. Расчетные и экспериментальные значения глубины трещины, соответствующие границам различных переходных участков РУТ, приведены на рис. 20. Видно, что расчетная глубина переходной точки изменения стадии РУТ с механизма сдвига на механизм отрыва (0,21 мм) несколько выше соответствующего экспериментального диапазона (0,16–0,18 мм), а расчетные размеры различных зон разрушения удовлетворительно совпадают с экспериментальными (погрешность не превышает 16%).

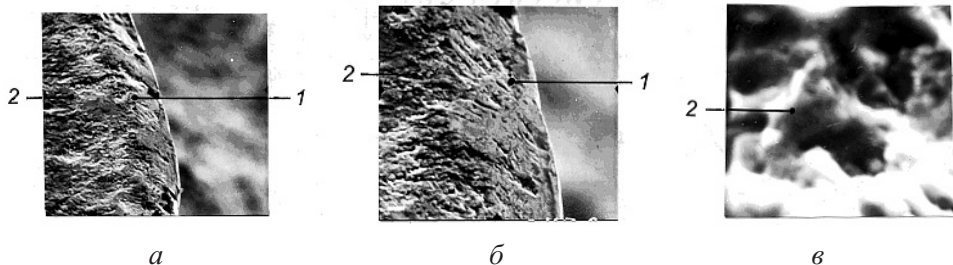


Рис. 19. Фрактография виброупрочненного образца из сплава BT9, разрушенного в условиях фреттинг-усталости: 1 – зона разрушения по механизму сдвига; 2 – зона разрушения по механизму отрыва (*a* – $\times 130$; *b* – $\times 150$; *c* – $\times 1300$).

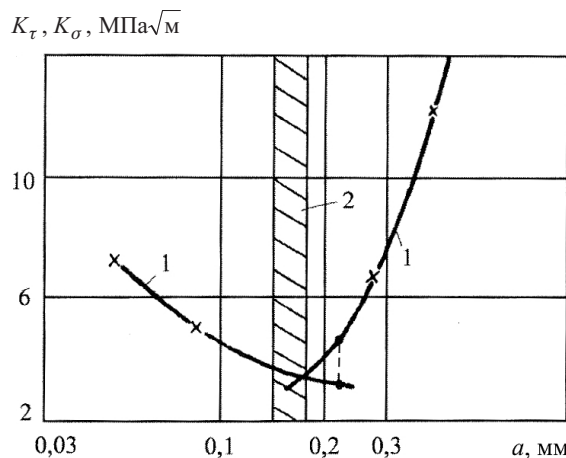


Рис. 20. Сравнение расчетных (1) зависимостей РУТ с экспериментальными (2) для сплава BT9.

Это свидетельствует о применимости предложенного подхода к случаю фреттинг-усталости цилиндрических образцов из титанового сплава BT9, подвергнутых предварительному виброупрочнению. Предположительно консервативность оценки ограниченных долговечностей может быть повышена

за счет использования экспериментальных данных по релаксации при наработке остаточных напряжений в приповерхностных слоях, обусловленных термосиловыми взаимодействиями поверхностей образца и контртела.

Выводы

1. Разработанная методика расчета долговечности при фреттинг-усталости, основанная на двухпараметрическом подходе Оцуки, применена к образцам круглого сечения с полуэллиптическими трещинами и показала хорошую сходимость результатов для исследованных сплавов АМгБН и ВТ9.

2. Расчетные значения пределов выносливости в условиях фреттинга хорошо согласуются с экспериментальными. При этом расчетные значения долговечности систематически занижены по сравнению с экспериментальными. Это объясняется тем, что стадия инициирования трещины не учитывается в расчетах живучести. Предлагается комбинировать предложенный подход с методиками оценки длительности стадии инициирования трещин с позиций многоцикловой усталости.

3. На примере расчета нескольких образцов показано, что стадия РУТ по механизму сдвига может занимать до 30% долговечности, а по механизму отрыва – до 70%.

4. Использование метода весовых функций позволяет учитывать влияние остаточных напряжений, вызванных виброупрочнением, на кинетику РУТ и долговечность при фреттинг-усталости сплава ВТ9.

Резюме

Із метою відтворення реальних умов фреттинг-утоми у циліндричних елементах конструкцій проведено експериментальні дослідження фреттинг-утоми циліндричних зразків зувігнутими циліндричними накладками типу “місток”. Із використанням відомих розв’язків для коефіцієнтів інтенсивності напружені в напівеліптичних тріщинах, що розвиваються в циліндричних зразках, виконано прогнозування кінетики росту фреттинг-утомних тріщин за допомогою двопараметричної моделі, описаної у повідомленні 1. Отримано задовільну збіжність розрахункових значень довговічності з експериментальними для сплаву АМгБН з варіюванням експериментальних умов фреттингу (контактним навантаженням, амплітудою ковзання та коефіцієнтом тертя). Для сплаву ВТ9 апробовано методику, що дозволяє врахувати розподіл залишкових напружені в приповерхневих шарах матеріалу при розрахунках напруженого-деформованого стану та довговічності в умовах фреттинг-утоми.

1. *Хоцяновский A. O.* Прогнозирование долговечности титановых и алюминиевых сплавов при фреттинг-усталости по различным критериям роста трещины. Сообщ. 1. Экспериментальные и расчетные методики // Пробл. прочности. – 2010. – № 6. – С. 76 – 104.
2. *Giannakopoulos A. E., Lindley T. C., and Suresh S.* Aspects of the equivalence between contact mechanics and fracture mechanics: theoretical connections and a life-prediction methodology for fretting fatigue // Acta Mater. – 1998. – 46, No. 9. – P. 2955 – 2968.

3. *Otsuka A., Fujii Y., and Maeda K.* A new testing method to obtain mode II fatigue crack growth characteristics of hard materials // *Fatigue Fract. Eng. Mater. Struct.* – 2004. – **27**. – P. 203 – 212.
4. *Трощенко В. Т., Цыбанев Г. В., Хоцяновский А. О.* Долговечность сталей при фреттинг-усталости // Пробл. прочности. – 1988. – № 6. – С. 3 – 8.
5. *Troshchenko V. T., Tsybanev G. V., and Khotsyanovsky A. O.* Two-parameter model of fretting fatigue crack growth // *Fatigue Fract. Eng. Mater. Struct.* – 1994. – **17**, No. 1. – P. 15 – 23.
6. *Хоцяновский А. О.* Прогнозирование долговечности конструкционных сталей и сплавов при фреттинг-усталости на стадии развития усталостной трещины: Автореф. дис. ... канд. техн. наук. – Киев, 1990. – 24 с.
7. *Carpinteri A.* Shape change of surface cracks in round bars under cyclic axial loading // *Int. J. Fatigue.* – 1993. – **15**. – P. 21 – 26.
8. *Carpinteri A. and Majorana C.* Fatigue growth of edge flaws in cylindrical bars // *Strength Mater.* – 1995. – **27**, No. 1-2. – P. 14 – 22.
9. *Athanassiadis A., Boissenot J. M., and Brevet P.* Facteurs d'intensite de contrainte et force d'extension de fissure dans le cas d'une fissure transversale dans un fils cylindrique // *Bull. Liasion Lab. Ch.* – 1980. – **105**, No. 1. – P. 73 – 78.
10. *Chambon L. and Journet B.* Modelling of fretting fatigue in a fracture-mechanics framework // *Tribology Int.* – 2006. – **39**. – P. 1120 – 1226.
11. *Вайншток В. А., Варфоломеев И. В.* Расчет весовых функций и коэффициентов интенсивности напряжений для полуэллиптической трещины в слое // Механика тверд. тела. – 1988. – № 2. – С. 132 – 139.

Поступила 08. 02. 2010